

# Simulação Numérica em Elementos Finitos do Escoamento em Artéria Coronária

Leandro Marques

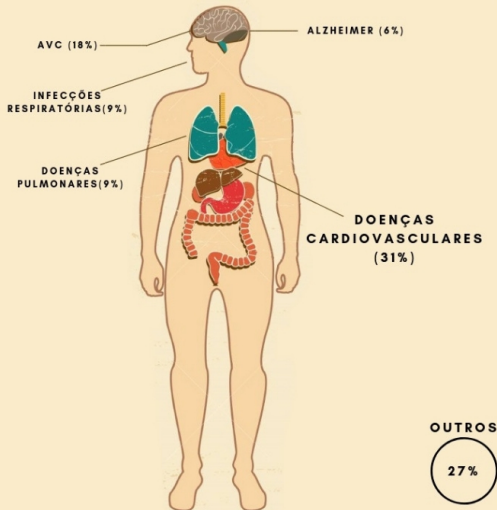
Orientadores: Gustavo Anjos e José Pontes

Universidade do Estado do Rio de Janeiro

10 de Setembro de 2018

1. Introdução
2. Revisão Bibliográfica
3. Equações de Governo
4. Método dos Elementos Finitos
5. Validação do Código Numérico
6. Resultados
7. Conclusão

## Principais Causas de Morte no Mundo

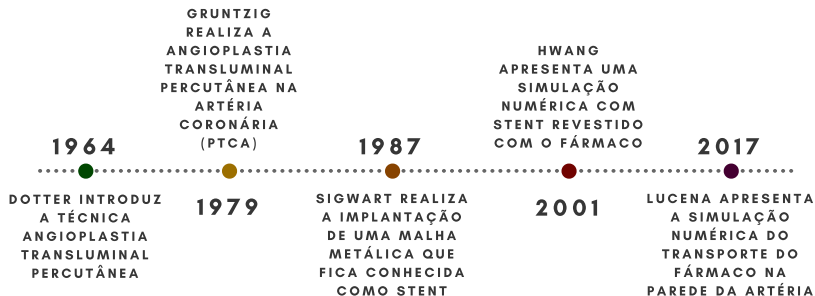


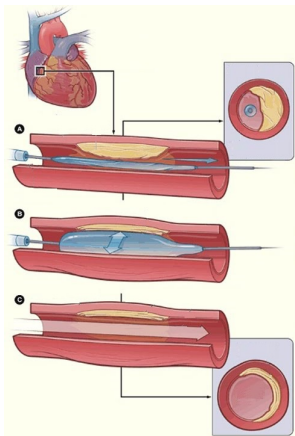
FONTE: WORLD HEALTH ORGANIZATION. CARDIOVASCULAR DISEASES, 2017. [ONLINE: ACCESSED 03/05/2018 11:55] DISPONÍVEL EM: [WWW.WHO.INT/CARDIOVASCULAR\\_DISEASES/EN/](http://WWW.WHO.INT/CARDIOVASCULAR_DISEASES/EN/)

1. Desenvolver um código em Elementos Finitos para a formulação corrente-vorticidade com o transporte de espécie química
2. Conhecer a dinâmica do escoamento sanguíneo numa artéria coronária com aterosclerose e com stent farmacológico implantado

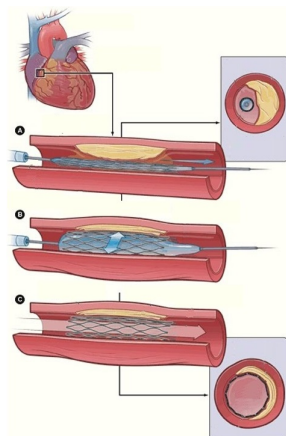
1. Introdução
2. Revisão Bibliográfica
3. Equações de Governo
4. Método dos Elementos Finitos
5. Validação do Código Numérico
6. Resultados
7. Conclusão

# Review - Stent Farmacológico



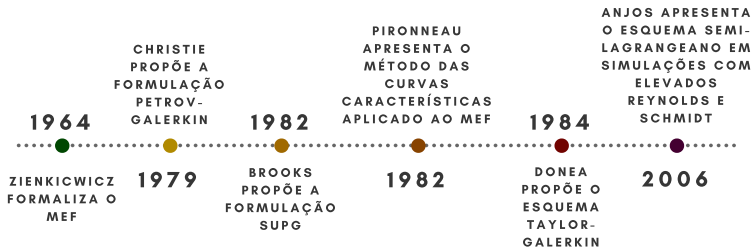


(a)



(b)

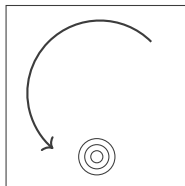
Comparativo dos procedimentos PTCA: (a) balão inflável e (b) stent.





## Hipóteses:

1. Fluido como um Meio Contínuo
2. Fluido incompressível
3. Fluido newtoniano
4. Escoamento monofásico
5. Escoamento bidimensional
6. Elevado número de Reynolds ( $Re = \infty$ )



$$\frac{\partial c}{\partial t} + \mathbf{v} \cdot \nabla c = 0$$

# Video

1. Introdução
2. Revisão Bibliográfica
3. Equações de Governo
4. Método dos Elementos Finitos
5. Validação do Código Numérico
6. Resultados
7. Conclusão

## Hipóteses:

1. Fluido como um Meio Contínuo
2. Fluido incompressível
3. Fluido homogêneo e isotrópico
4. Fluido newtoniano
5. Fluido com difusividade de massa constante
6. Escoamento monofásico
7. Escoamento sem geração de espécie química

$$\nabla \cdot \mathbf{v} = 0$$

$$\frac{\partial \mathbf{v}}{\partial t} + \mathbf{v} \cdot \nabla \mathbf{v} = -\frac{1}{\rho} \nabla p + \nu \nabla^2 \mathbf{v} + \mathbf{g}$$

$$\frac{\partial c}{\partial t} + \mathbf{v} \cdot \nabla c = D \nabla^2 c$$

$$\begin{array}{lllll} p = \rho_0 U^2 p^* & c = (c_s - c_0)c^* + c_0 & \nu = \nu_0 \nu^* & D = D_0 D^* & x = L x^* \\ \mathbf{v} = U \mathbf{v}^* & \mathbf{g} = g_0 \mathbf{g}^* & \rho = \rho_0 \rho^* & \nabla = \frac{1}{L} \nabla^* & t = \frac{L}{U} t^* \end{array}$$

$$\nabla \cdot \mathbf{v} = 0$$

$$\frac{\partial \mathbf{v}}{\partial t} + \mathbf{v} \cdot \nabla \mathbf{v} = -\nabla p + \frac{1}{Re} \nabla^2 \mathbf{v} + \frac{1}{Fr^2} \mathbf{g}$$

$$\frac{\partial c}{\partial t} + \mathbf{v} \cdot \nabla c = \frac{1}{ReSc} \nabla^2 c$$

$$\mathbf{v} \cdot \nabla \mathbf{v} = \nabla \frac{v^2}{2} - \mathbf{v} \times \nabla \times \mathbf{v} \qquad \nabla \times [\mathbf{v} \times \omega] = -\mathbf{v} \cdot \nabla \omega + \omega \cdot \nabla \mathbf{v}$$

$$\frac{\partial \omega}{\partial t} + \mathbf{v} \cdot \nabla \omega = \frac{1}{Re} \nabla^2 \omega$$

$$\nabla^2 \psi = -\omega$$

$$\mathbf{v} = \mathbf{D} \psi$$

$$\frac{\partial c}{\partial t} + \mathbf{v} \cdot \nabla c = \frac{1}{ReSc} \nabla^2 c$$

Onde  $\mathbf{D}$  é um operador diferencial cujas componentes são  $[\partial/\partial y, -\partial/\partial x]$

1. Introdução
2. Revisão Bibliográfica
3. Equações de Governo
4. Método dos Elementos Finitos
5. Validação do Código Numérico
6. Resultados
7. Conclusão

$$\dot{\omega} + \mathbf{v} \cdot \nabla \omega^n = \frac{1}{Re} \nabla^2 \omega^n + \frac{\Delta t}{2} \mathbf{v} \cdot \nabla [\mathbf{v} \cdot \nabla \omega^n]$$

$$\nabla^2 \psi = -\omega$$

$$\mathbf{v} = \mathbf{D} \psi$$

$$\dot{c} + \mathbf{v} \cdot \nabla c^n = \frac{1}{ReSc} \nabla^2 c^n + \frac{\Delta t}{2} \mathbf{v} \cdot \nabla [\mathbf{v} \cdot \nabla c^n]$$

Onde  $\dot{\omega}$  e  $\dot{c}$  são  $[\omega^{n+1} - \omega^n]/\Delta t$  e  $[c^{n+1} - c^n]/\Delta t$  respectivamente,  $\mathbf{v}$  é o vetor velocidade cujas componentes são  $\mathbf{v} = [u, v]$  e  $\mathbf{D}$  é um operador matemático com componentes  $\mathbf{D} = [\partial/\partial y, -\partial/\partial x]$



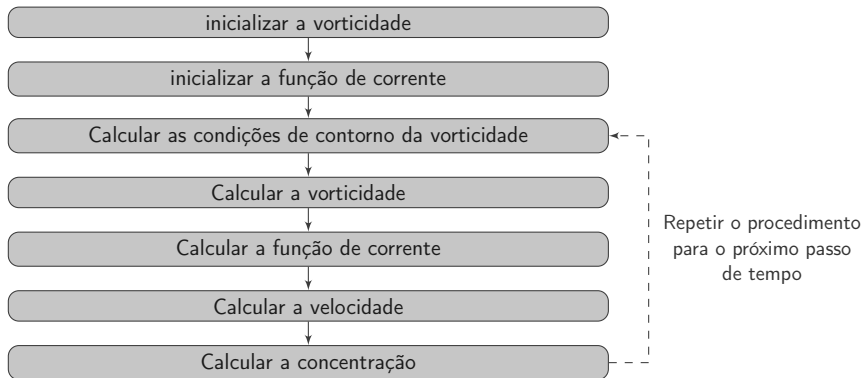
$$\begin{aligned}\frac{M}{\Delta t}\omega^{n+1} = & \frac{M}{\Delta t}\omega^n - u \cdot G_x\omega^n - v \cdot G_y\omega^n - \frac{1}{Re}\left[K_{xx} + K_{yy}\right]\omega^n \\ & - \frac{\Delta t}{2}u\left[uK_{xx} + vK_{yx}\right]\omega^n - \frac{\Delta t}{2}v\left[uK_{xy} + vK_{yy}\right]\omega^n\end{aligned}$$

$$\left[K_{xx} + K_{yy}\right]\psi = M\omega$$

$$Mu = G_y\psi$$

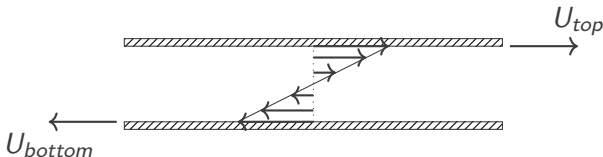
$$Mv = -G_x\psi$$

$$\begin{aligned}\frac{M}{\Delta t}c^{n+1} = & \frac{M}{\Delta t}c^n - u \cdot G_xc^n - v \cdot G_yc^n - \frac{1}{ReSc}\left[K_{xx} + K_{yy}\right]c^n \\ & - \frac{\Delta t}{2}u\left[uK_{xx} + vK_{yx}\right]c^n - \frac{\Delta t}{2}v\left[uK_{xy} + vK_{yy}\right]c^n\end{aligned}$$



Algoritmo de solução da formulação corrente-vorticidade com transporte de espécie química

1. Introdução
2. Revisão Bibliográfica
3. Equações de Governo
4. Método dos Elementos Finitos
5. Validação do Código Numérico
6. Resultados
7. Conclusão

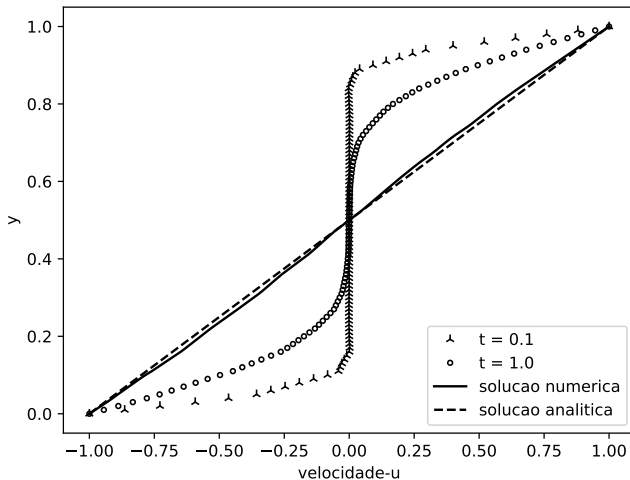


As condições de contorno são:

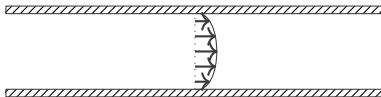
Placa Superior:  $u = U_{top}$  onde  $U_{top} = 1$ ,  $v = 0$  e  $\psi = 0$ ;

Placa Inferior:  $u = U_{bottom}$  onde  $U_{bottom} = -1$ ,  $v = 0$  e  $\psi = 0$

$$u = [U_{top} - U_{bottom}] \frac{y}{L} + U_{bottom}$$



Evolução do perfil de velocidade no tempo para  $Re = 100$  e a comparação da solução numérica com a solução analítica.



As condições de contorno são:

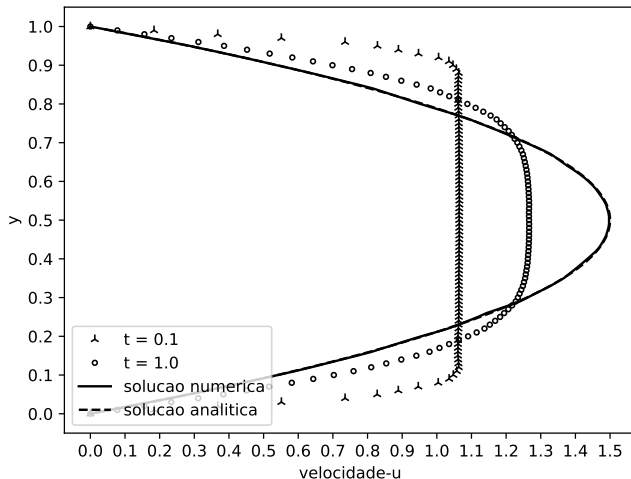
Condição de Entrada:  $u = 1$ ,  $v = 0$  e  $\psi = y$ ;

Condição de Saida:  $\psi = y$ ;

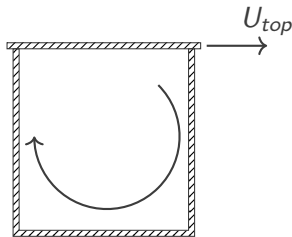
Parede superior:  $u = 0$ ,  $v = 0$ ,  $\psi = 1$ ;

Parede inferior:  $u = 0$ ,  $v = 0$ ,  $\psi = 0$

$$u = \frac{4u_{max}}{L^2} y [L - y]$$



Evolução do perfil de velocidade no tempo para  $Re = 100$  e a comparação da solução numérica com a solução analítica.

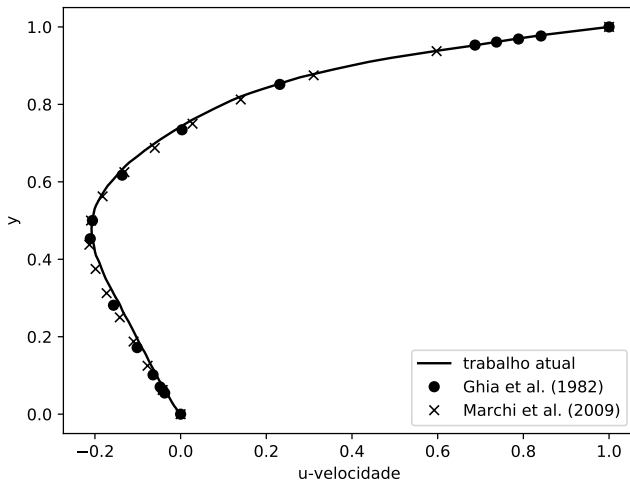


As condições de contorno são:

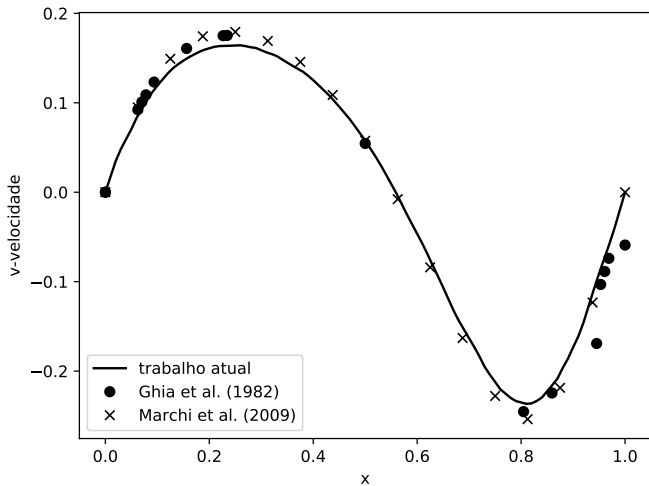
Paredes laterais e inferior:  $u = 0$ ,  $v = 0$  e  $\psi = 0$ ;

Parede superior:  $u = 1$ ,  $v = 0$  e  $\psi = 0$



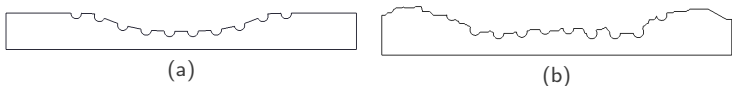


Perfil de  $u$  na linha central da cavidade ( $x = 0.5$ ) para Reynolds  $Re = 100$ .



Perfil de  $v$  na linha central da cavidade ( $y = 0.5$ ) para Reynolds  $Re = 100$ .

1. Introdução
2. Revisão Bibliográfica
3. Equações de Governo
4. Método dos Elementos Finitos
5. Validação do Código Numérico
6. Resultados
7. Conclusão



Geometria não dimensional para escoamento sanguíneo em artéria coronária. (a) Canal Curvado com Stent (b) Canal Real com Stent.

As condições de contorno são:

Condição de Entrada:  $u = 1$ ,  $v = 0$  e  $\psi = y$ ;

Condição de Saida:  $\psi = y$ ;

Parede superior:  $u = 0$ ,  $v = 0$ ,  $\psi = 1$ ;

Eixo de simetria:  $v = 0$ ,  $\psi = 0$ ;

Stent Farmacológico:  $u = 0$ ,  $v = 0$ ,  $\psi = 1$  e  $c = 1$

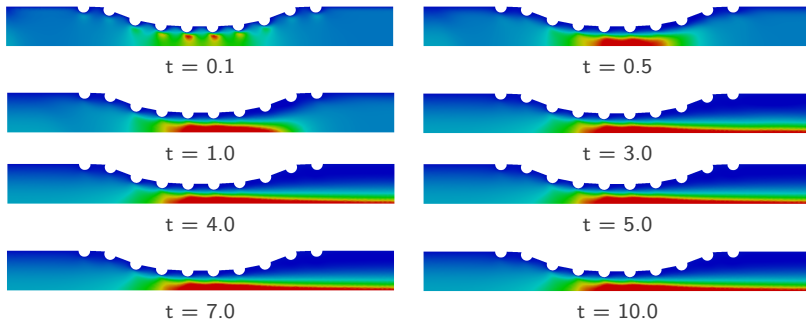
$$R = 0.0015m$$

$$\mu = 0.0035Pa.s$$

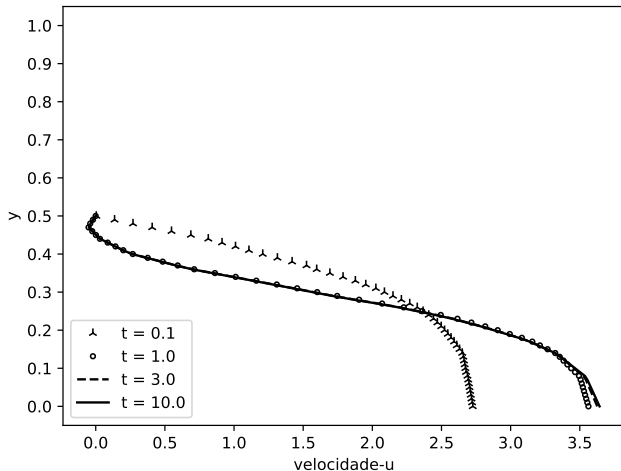
$$\rho = 1060kg/m^3$$

$$u = 12cm/s$$

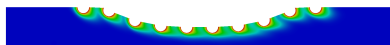
$$Re = 54.5$$



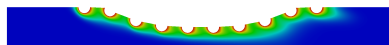
Evolução no tempo e no espaço do campo de velocidade para o Canal Curvado com Stent Farmacológico



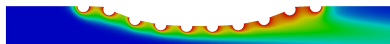
Evolução no tempo do perfil da velocidade para o Canal Curvado com Stent Farmacológico



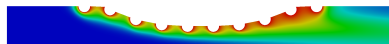
$t = 0.5$



$t = 1.0$

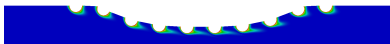


$t = 5.0$

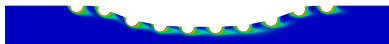


$t = 10.0$

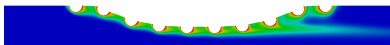
Canal Curvado com Stent Farmacológico cujo  $Sc = 1$ .



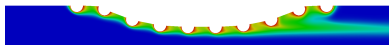
$t = 0.5$



$t = 1.0$

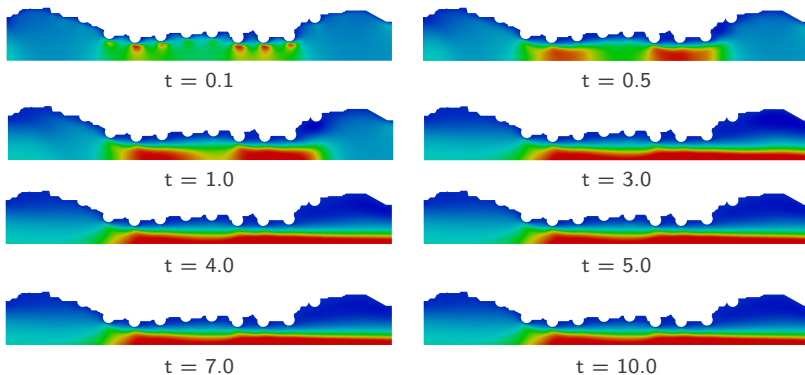


$t = 5.0$



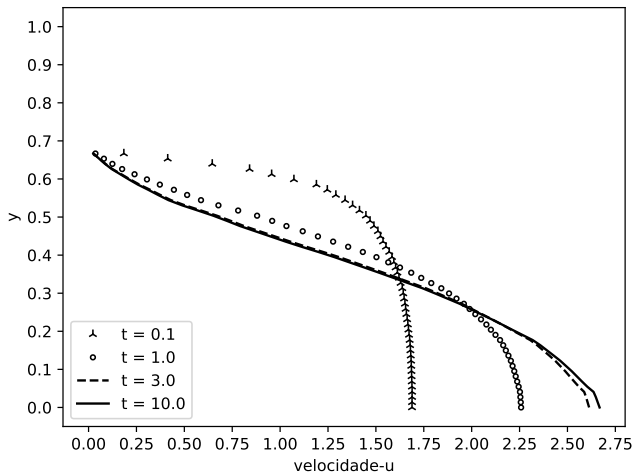
$t = 10.0$

Canal Curvado com Stent Farmacológico cujo  $Sc = 10$ .

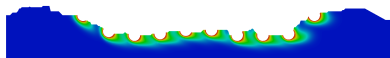


Evolução no tempo e no espaço do campo de velocidade para o Canal Real com Stent Farmacológico

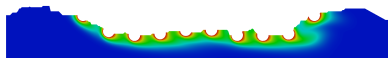




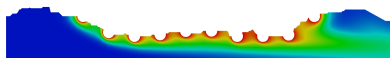
Evolução no tempo do perfil da velocidade para o Canal Real com Stent Farmacológico



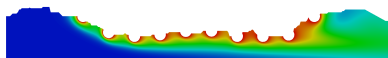
$t = 0.5$



$t = 1.0$

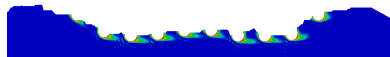


$t = 5.0$

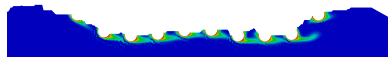


$t = 10.0$

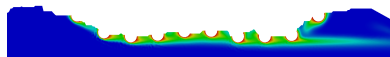
Canal Real com Stent Farmacológico cujo  $Sc = 1$ .



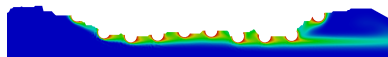
$t = 0.5$



$t = 1.0$



$t = 5.0$



$t = 10.0$

Canal Real com Stent Farmacológico cujo  $Sc = 10$ .

1. Introdução
2. Revisão Bibliográfica
3. Equações de Governo
4. Método dos Elementos Finitos
5. Validação do Código Numérico
6. Resultados
7. Conclusão

1. Foi construído um código completo em linguagem de programação de alto nível (Python) usando o paradigma de orientação de objetos e partir do presente momento, possuímos uma plataforma de estudos de problemas de escoamento de fármacos em artérias
2. O simulador é capaz também de descrever em detalhes problemas envolvendo escoamento de fluidos newtonianos com transporte de natureza escalar (concentração ou temperatura) devido a construção generalizada do código
3. A formulação corrente-vorticidade se mostrou uma aproximação usual para calcular os campos de velocidade e concentração já que as variáveis são escalares permitindo uma implementação suave
4. Foi observado que o número de *Schmidt* influencia diretamente no transporte do fármaco na corrente sanguínea. Para elevados valores de *Schmidt*, o transporte de espécie química torna-se puramente convectivo e sua influência na parede da artéria deve ser verificada

1. Implementação do esquema Semi-Lagrangeano
2. Utilização das variáveis primitivas na equação Navier-Stokes numa abordagem 3D
3. Modelar o escoamento sanguíneo como um problema multifásico
4. Simular a transferência de espécie química na parede da artéria

# Obrigado!

marquesleandro67@gmail.com